



## LEZIONE 10

### ANTENNE FILARI

Giuseppe Pelosi  
Dipartimento di Elettronica e Telecomunicazioni  
Università di Firenze  
E-mail: [giuseppe.pelosi@unifi.it](mailto:giuseppe.pelosi@unifi.it)  
URL: <http://ingfi9.det.unifi.it/>

1/53

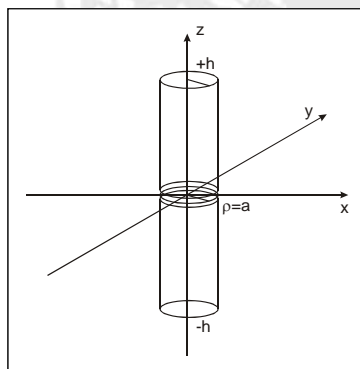


### EQUAZIONI INTEGRALI PER ANTENNE FILARI

#### Equazione di Hallén – EFIE (Electric Field Integral Equation)

Antenna in trasmissione

$$\int_{-h}^h K(z, z') I(z') dz' = \frac{B}{\mu} \cos(kz) - \frac{j}{2\zeta} V_g \sin(k|z|) \quad (\text{equazione di Hallén})$$



$$K(z, z') = G(z, z') = \frac{e^{-jk|\mathbf{r} - \mathbf{r}'|}}{4\pi|\mathbf{r} - \mathbf{r}'|}$$

Modello di generatore a  $\delta$ -gap

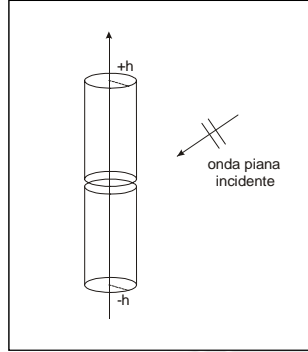
$$\mathbf{E}^i(z) = V_g \delta(z) \hat{z}, \quad \rho = a$$

2/53



## EQUAZIONI INTEGRALI PER ANTENNE FILARI

### Equazione di Pocklington -- EFIE (Electric Field Integral Equation)



Antenna in ricezione  
Onda piana incidente sull'antenna filare

$$\int_{-h}^{+h} K(z, z') I(z') dz' = -\mathbf{E}^i(z) \cdot \hat{z}$$

(equazione di Pocklington)

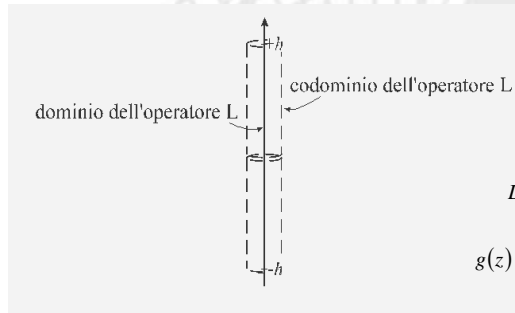
$$K(z, z') = \frac{1}{j\omega\epsilon_0} \left[ \frac{\partial^2 G(z, z')}{\partial^2 z} + k^2 G(z, z') \right]$$

$$G(z, z') = \frac{e^{-jk\sqrt{(z-z')^2 + a^2}}}{4\pi\sqrt{(z-z')^2 + a^2}}$$

3/53



## SOLUZIONE DELL'EQUAZIONE INTEGRALE MEDIANTE IL METODO DEI RESIDUI PESATI (METODO DEI MOMENTI)



$$L(I) = g$$

$$g(z) = -\mathbf{E}^i(z) \cdot \hat{z}$$

$$L(\cdot) = \int_{-h}^{+h} K(z, z') (\cdot) dz'$$

equazione di Pocklington

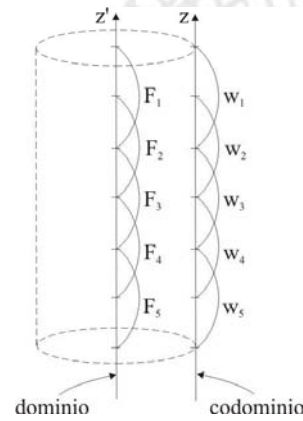
4/53





## SOLUZIONE DELL'EQUAZIONE INTEGRALE MEDIANTE IL METODO DEI RESIDUI PESATI (METODO DEI MOMENTI)

funzioni di base e di peso sulla struttura



$$I(z') \cong \sum_{n=1}^N I_n F_n(z')$$

$$Z_{mn} = \langle w_m, L(F_n) \rangle = \int_{-h}^{+h} w_m(z) \int_{-h}^{+h} K(z, z') F_n(z') dz' dz$$

$$V_m = \langle w_m, g \rangle = - \int_{-h}^{+h} w_m(z) E_z^i(z) dz$$

$$[Z_{mn}] [I_n] = [V_m]$$

$$[I_n] = [Z_{mn}]^{-1} [V_m]$$

se si usa il metodo di Galerkin la matrice delle impedenze generalizzate è di Toeplitz

5/53



- Antenna a dipolo
- Antenna Yagi-Uda
- Antenna a dipolo ripiegato
- Dipolo a V
- Antenna log-periodica ad array di dipoli
- Antenna a telaio

6/53



Lezione 10 – Antenne filari

- Antenna a dipolo
- Antenna Yagi-Uda
- Antenna a dipolo ripiegato
- Dipolo a V
- Antenna log-periodica ad array di dipoli
- Antenna a telaio

7/53



Lezione 10 – Antenne filari

**ANTENNA A DIPOLO –  $L=\lambda/2$ : distribuzione di corrente**

$$f = 300 \text{ MHz}$$

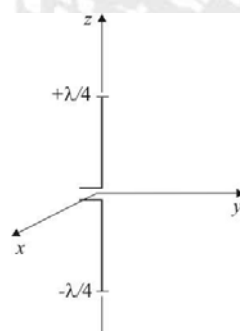
$$\lambda = 1 \text{ m}$$

$$L = \lambda/2$$

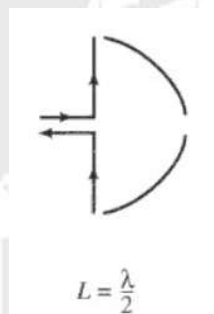
$$\text{spessore filo: } a = 0.0005 \text{ m}$$

funzioni di base: 5f (combinazione di un seno un coseno e una funzione costante)

software utilizzato: FEKO  
<http://www.feko.info/>

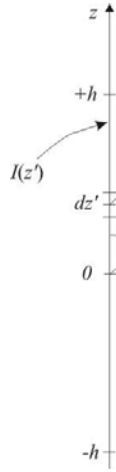


modulo della corrente sul filo



$$L = \frac{\lambda}{2}$$

8/53

ANTENNA A DIPOLO –  $L=\lambda/2$ : diagramma di radiazione

$$\mathbf{E} = E_{\theta} \hat{\theta} = \int_{-h}^{+h} \frac{jk\zeta I(z') \sin \theta}{4\pi r'} e^{-jkr'} dz' \hat{\theta}$$

al denominatore  $\frac{1}{r} \approx \frac{1}{r'}$

all'esponente  $r \approx r' + z' \cos \theta$

$$\mathbf{E} = E_{\theta} \hat{\theta} = \frac{jk\zeta I_0 \sin \theta}{4\pi r} e^{-jkr} \int_{-h}^{+h} \frac{I(z')}{I_0} e^{jkz' \cos \theta} dz' \hat{\theta}$$

9/53

ANTENNA A DIPOLO –  $L=\lambda/2$ : diagramma di radiazione

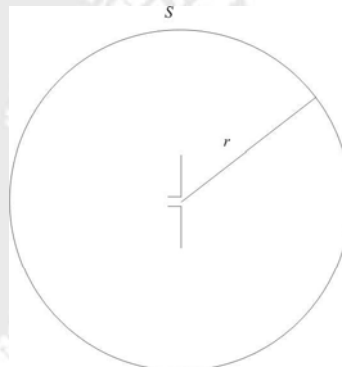
$$\frac{|\mathbf{E}|}{|\mathbf{E}|_{\max}} \quad \frac{|\mathbf{E}|}{|\mathbf{E}|_{\max}} (\text{dB}) = 20 \log_{10} \frac{|\mathbf{E}|}{|\mathbf{E}|_{\max}}$$

$$D = \frac{\frac{1}{2} \frac{|\mathbf{E}|^2}{\zeta} 4\pi r^2}{P_r} \quad D_{\max} = \frac{\frac{1}{2} \frac{|\mathbf{E}|_{\max}^2}{\zeta} 4\pi r^2}{P_r}$$

$$D_{\max} (\text{dB}) = 10 \log_{10} D_{\max}$$

$$\frac{|\mathbf{E}|^2}{|\mathbf{E}|_{\max}^2} = \frac{D}{D_{\max}}$$

$$10 \log_{10} \frac{D}{D_{\max}} = 10 \log_{10} \frac{|\mathbf{E}|^2}{|\mathbf{E}|_{\max}^2} = 20 \log_{10} \frac{|\mathbf{E}|}{|\mathbf{E}|_{\max}}$$



10/53





### ANTENNA A DIPOLO – $L=\lambda/2$ : diagramma di radiazione

Ampiezza del fascio a metà potenza  
(Half Power Beam Width, HPBW):

angolo fra le due direzioni in cui il  
modulo del campo elettrico è

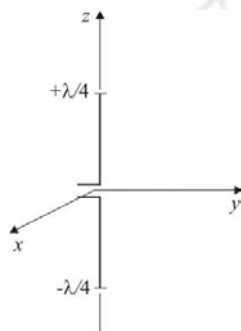
$$|\mathbf{E}|/|\mathbf{E}|_{\max} = 1/\sqrt{2} \quad |D|/|D|_{\max} = |\mathbf{E}|^2/|\mathbf{E}|_{\max}^2 = 1/2$$

$$10\log_{10}(|D|/|D|_{\max}) = 20\log_{10}(|\mathbf{E}|/|\mathbf{E}|_{\max}) \approx -3 \text{ dB}$$

11/53



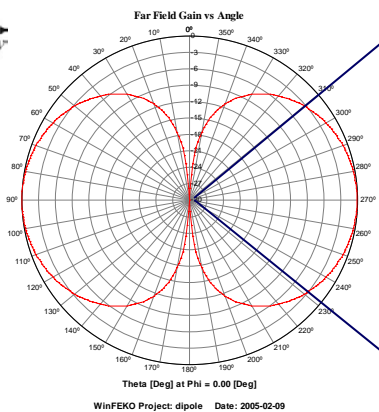
### ANTENNA A DIPOLO – $L=\lambda/2$ : diagramma di radiazione



$$D_{\max}(\text{dB}) = G_{\max}(\text{dB}) = 2.17 \text{ dB}$$

$$10\log_{10}(|D|/|D|_{\max}) = 20\log_{10}(|\mathbf{E}|/|\mathbf{E}|_{\max}) \approx -3 \text{ dB}$$

$$\text{HPBW} \approx 80^\circ$$



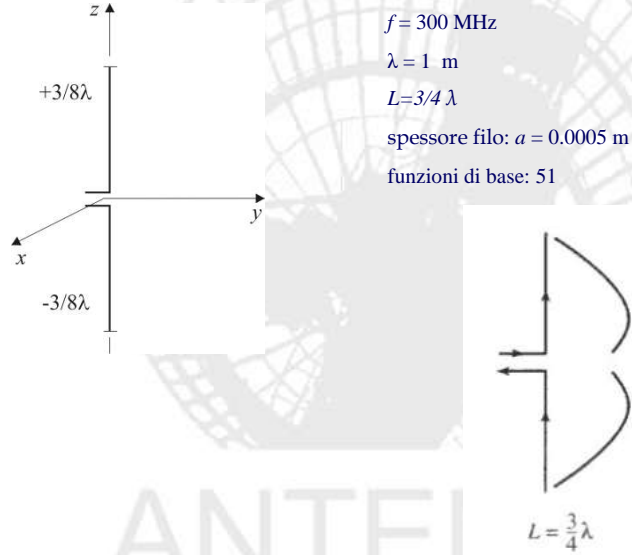
piano xz [dB]

12/53





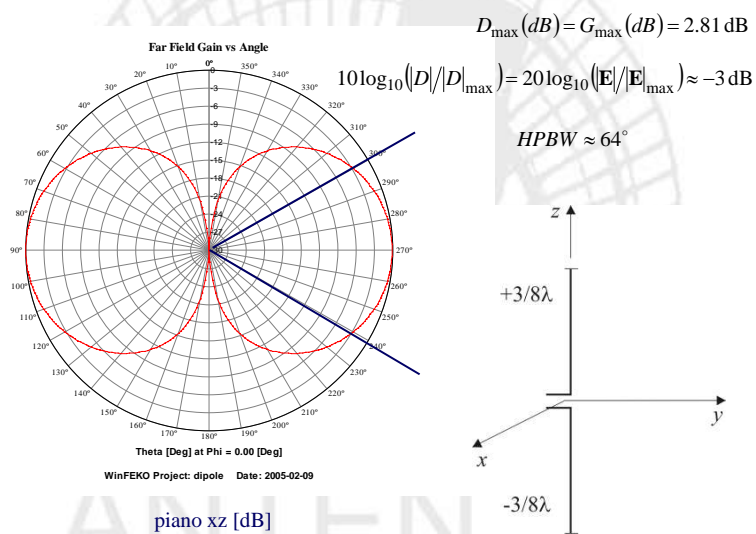
**ANTENNA A DIPOLO –  $L=3/4 \lambda$ : distribuzione di corrente**



13/53



**ANTENNA A DIPOLO –  $L=3/4 \lambda$ : diagramma di radiazione**

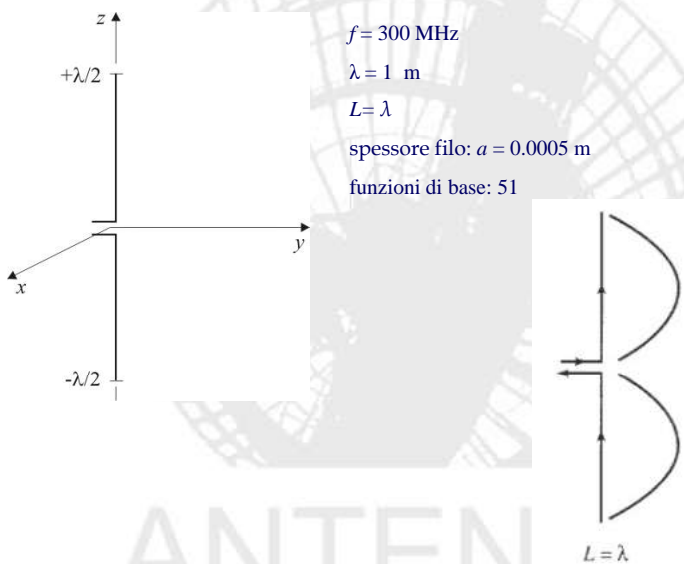


14/53



Lezione 10 - Antenne filari

ANTENNA A DIPOLO -  $L=\lambda$ : distribuzione di corrente

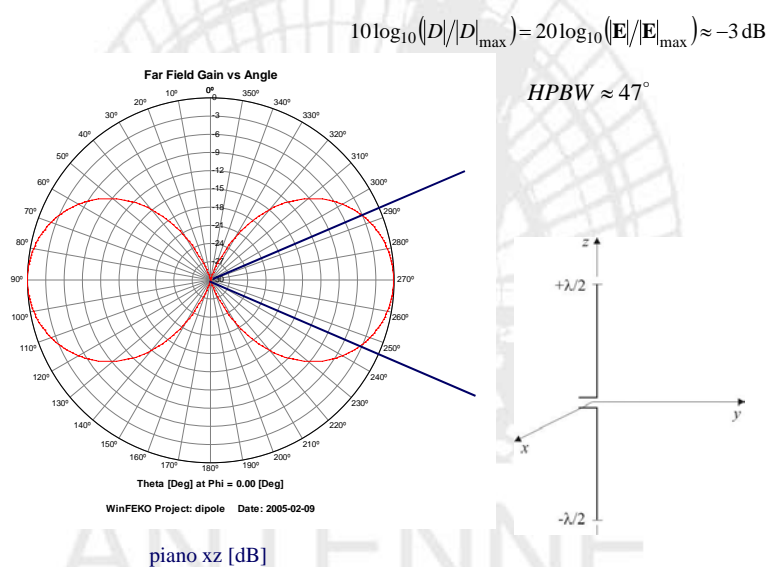


15/53



Lezione 10 - Antenne filari

ANTENNA A DIPOLO -  $L=\lambda$ : diagramma di radiazione



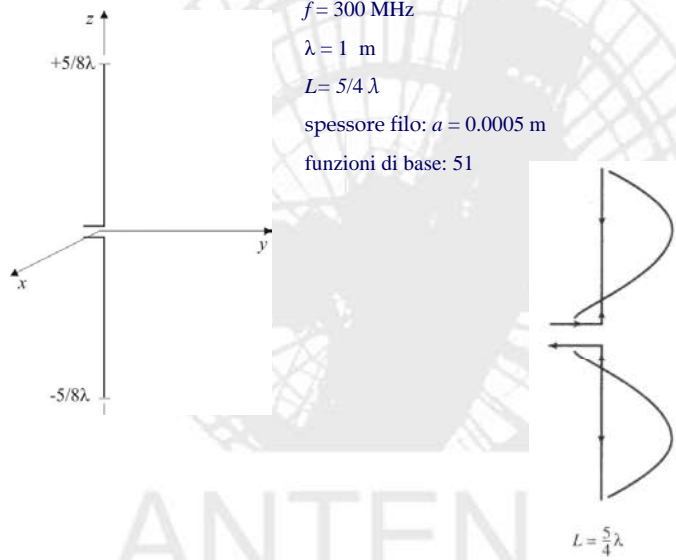
16/53





Lezione 10 – Antenne filari

ANTENNA A DIPOLO –  $L=5/4 \lambda$ : distribuzione di corrente

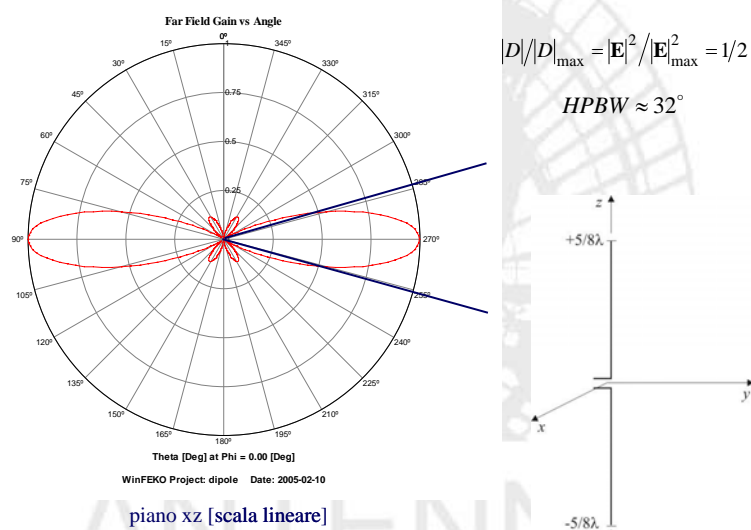


17/53



Lezione 10 – Antenne filari

ANTENNA A DIPOLO –  $L=5/4 \lambda$ : diagramma di radiazione

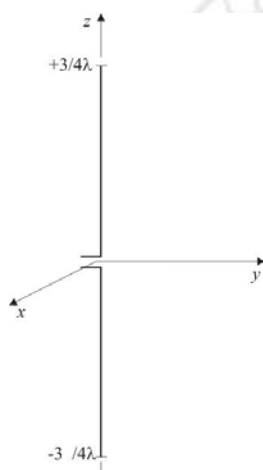


18/53

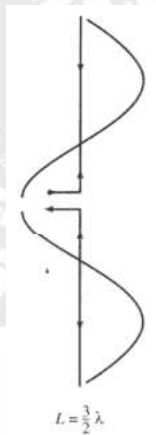


Lezione 10 - Antenne filari

ANTENNA A DIPOLO -  $L=3/2 \lambda$ : distribuzione di corrente



$f = 300 \text{ MHz}$   
 $\lambda = 1 \text{ m}$   
 $L = 3/2 \lambda$   
spessore filo:  $a = 0.0005 \text{ m}$   
funzioni di base: 51

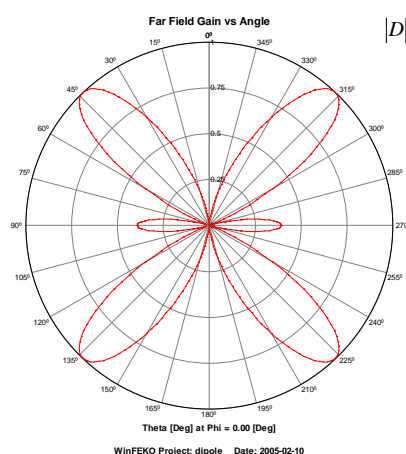


19/53



Lezione 10 - Antenne filari

ANTENNA A DIPOLO -  $L=3/2 \lambda$ : diagramma di radiazione



$$|D|/|D|_{\max} = |\mathbf{E}|^2/|\mathbf{E}|_{\max}^2 = 1/2$$

piano di elevazione (scala lineare)

20/53

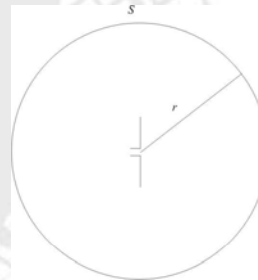
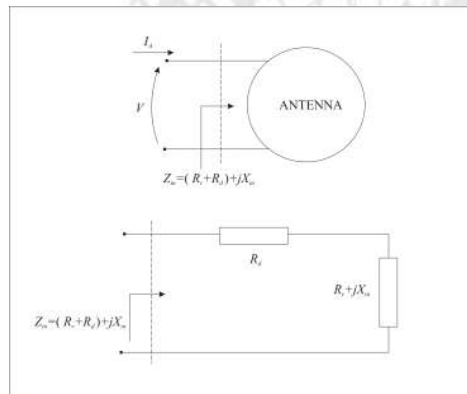


### ANTENNA A DIPOLO – Impedenza d'ingresso

in assenza di perdite

$$P_r = \frac{1}{2} |I_A|^2 R_{in}$$

$I_A$  corrente di alimentazione



$P_r$  è la potenza irradiata

$$P_r = \frac{1}{2\zeta} \iint_S \left( |E_\theta|^2 + |E_\phi|^2 \right) dS$$

21/53



### ANTENNA A DIPOLO – Impedenza d'ingresso

Se per un dipolo a  $\lambda/2$  infinitamente sottile si ipotizza una distribuzione di corrente sinusoidale

$$I(z) = I_0 \cos(kz) ; \quad |z| \leq \frac{\lambda}{4}$$

il calcolo della resistenza d'ingresso mediante la potenza radiata fornisce:

$$R_{in(\lambda/2)} = 73 \Omega$$

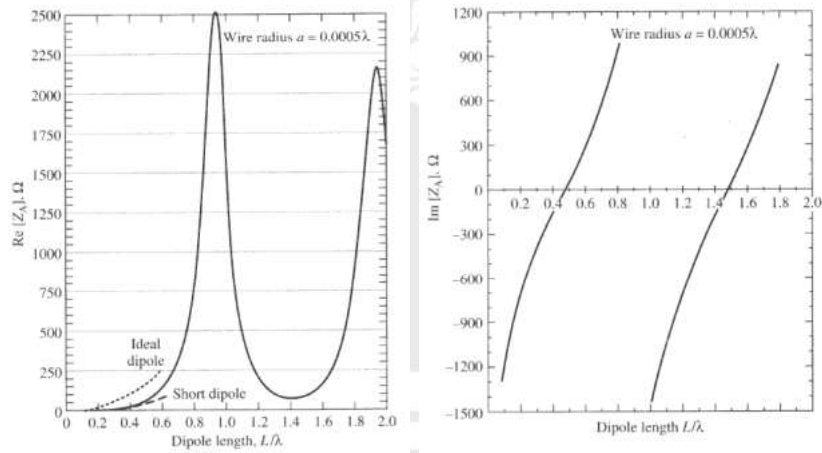
Per dipoli di spessore finito il calcolo richiede l'ausilio di tecniche numeriche che non assumono una distribuzione di corrente assegnata sul filo

22/53



**ANTENNA A DIPOLO – Impedenza d'ingresso**

Impedenza calcolata con l'ausilio di tecniche numeriche



23/53

**ANTENNA A DIPOLO – Impedenza d'ingresso**Formule pratiche per il calcolo della resistenza d'ingresso ( $L$ : lunghezza totale del filo)

Length $L$	Input Resistance ( $R_{in}$ ), $\Omega$
$0 < L < \frac{\lambda}{4}$	$20\pi^2 \left(\frac{L}{\lambda}\right)^2$
$\frac{\lambda}{4} < L < \frac{\lambda}{2}$	$24.7 \left(\pi \frac{L}{\lambda}\right)^{2.4}$
$\frac{\lambda}{2} < L < 0.637\lambda$	$11.14 \left(\pi \frac{L}{\lambda}\right)^{4.17}$

Nei dipoli reali la lunghezza di risonanza diminuisce all'aumentare dello spessore ( $a$ =raggio)

Length to Diameter Ratio, $L/2a$	Percent Shortening Required	Resonant Length $L$	Dipole Thickness Class
5000	2	$0.49\lambda$	Very thin
50	5	$0.475\lambda$	Thin
10	9	$0.455\lambda$	Thick

Al diminuire della lunghezza di risonanza la resistenza d'ingresso alla risonanza diminuisce

24/53



Lezione 10 – Antenne filari

- Antenna a dipolo
- Antenna Yagi-Uda
- Antenna a dipolo ripiegato
- Dipolo a V
- Antenna log-periodica ad array di dipoli
- Antenna a telaio

25/53

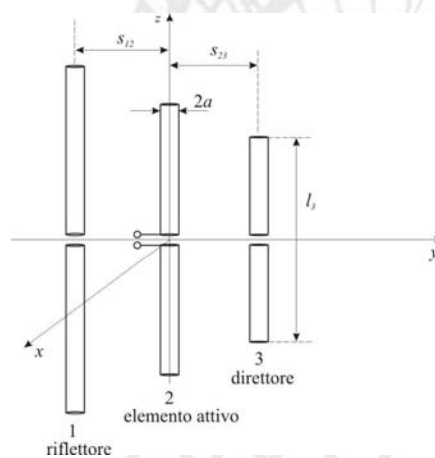


Lezione 10 – Antenne filari

ANTENNA YAGI-UDA

Configurazione base: tre elementi di cui uno attivo e due passivi

L'elemento attivo è un dipolo risonante a  $\lambda/2$  ( $0.45-0.49 \lambda$ )



L'elemento parassita nella direzione del fascio di radiazione (direttore) è più corto dell'elemento attivo ( $0.4-0.45 \lambda$ )

L'elemento parassita nella direzione opposta al fascio di radiazione funziona da riflettore

26/53



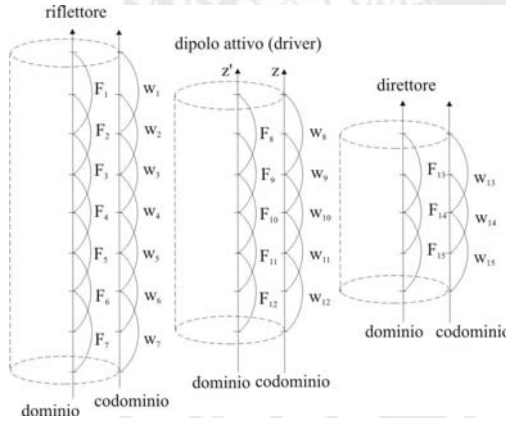
## ANTENNA YAGI-UDA

$$I(z') \equiv \sum_{n=1}^N I_n F_n(z')$$

$$Z_{mn} = \langle w_m, L(F_n) \rangle = \int_{-h}^{+h} w_m(z) \int_{-h}^{+h} K(z, z') F_n(z') dz' dz$$

funzioni di base e di peso sulla struttura

$$V_m = \langle w_m, g \rangle$$



$$\begin{bmatrix} \tilde{Z}_{11} \\ \tilde{Z}_{21} \\ \tilde{Z}_{31} \end{bmatrix} \begin{bmatrix} \tilde{Z}_{12} \\ \tilde{Z}_{22} \\ \tilde{Z}_{32} \end{bmatrix} \begin{bmatrix} \tilde{Z}_{13} \\ \tilde{Z}_{23} \\ \tilde{Z}_{33} \end{bmatrix} \begin{bmatrix} I_1 \\ \vdots \\ I_{15} \end{bmatrix} = \begin{bmatrix} V_1 \\ \vdots \\ V_{15} \end{bmatrix}$$

27/53



## ANTENNA YAGI-UDA

$$\tilde{Z}_{11} = \begin{bmatrix} \bar{Z}_{1,1} & \dots & Z_{1,7} \\ \vdots & \ddots & \vdots \\ Z_{7,1} & \dots & Z_{7,7} \end{bmatrix} \quad \tilde{Z}_{22} = \begin{bmatrix} \bar{Z}_{8,8} & \dots & Z_{8,12} \\ \vdots & \ddots & \vdots \\ Z_{12,8} & \dots & Z_{12,12} \end{bmatrix} \quad \tilde{Z}_{33} = \begin{bmatrix} \bar{Z}_{13,13} & \dots & Z_{13,15} \\ \vdots & \ddots & \vdots \\ Z_{15,13} & \dots & Z_{15,15} \end{bmatrix} \quad \text{auto impedenze}$$

$$\tilde{Z}_{12} = \begin{bmatrix} \bar{Z}_{1,8} & \dots & Z_{1,12} \\ \vdots & \ddots & \vdots \\ Z_{7,8} & \dots & Z_{7,12} \end{bmatrix} \quad \tilde{Z}_{21} = \begin{bmatrix} \bar{Z}_{8,1} & \dots & Z_{8,7} \\ \vdots & \ddots & \vdots \\ Z_{12,1} & \dots & Z_{12,7} \end{bmatrix} \quad \text{impedenze mutue riflettore-driver}$$

$$\tilde{Z}_{13} = \begin{bmatrix} \bar{Z}_{1,13} & \dots & Z_{1,15} \\ \vdots & \ddots & \vdots \\ Z_{7,13} & \dots & Z_{7,15} \end{bmatrix} \quad \tilde{Z}_{31} = \begin{bmatrix} \bar{Z}_{13,1} & \dots & Z_{13,7} \\ \vdots & \ddots & \vdots \\ Z_{15,1} & \dots & Z_{15,7} \end{bmatrix} \quad \text{impedenze mutue riflettore-direttore}$$

$$\tilde{Z}_{23} = \begin{bmatrix} \bar{Z}_{8,13} & \dots & Z_{8,15} \\ \vdots & \ddots & \vdots \\ Z_{12,13} & \dots & Z_{12,15} \end{bmatrix} \quad \tilde{Z}_{32} = \begin{bmatrix} \bar{Z}_{13,8} & \dots & Z_{13,12} \\ \vdots & \ddots & \vdots \\ Z_{15,8} & \dots & Z_{15,12} \end{bmatrix} \quad \text{impedenze mutue driver-direttore}$$

28/53

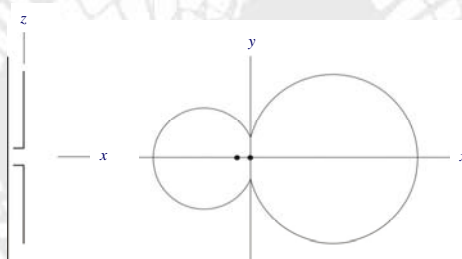




### ANTENNA YAGI-UDA

il parassita è più lungo del dipolo attivo

il parassita è posto nelle vicinanze del dipolo attivo  $d = 0.15 \div 0.3 \lambda$



piano H

Il parassita si comporta da riflettore: massimo di radiazione in direzione opposta al parassita

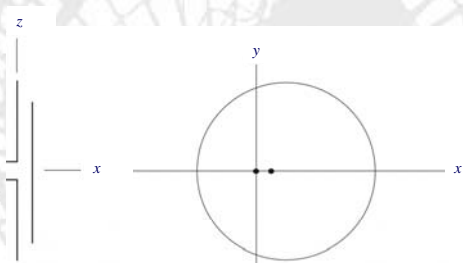
29/53



### ANTENNA YAGI-UDA

il parassita è più corto del dipolo attivo

il parassita è posto nelle vicinanze del dipolo attivo  $d = 0.15 \div 0.3 \lambda$



piano H

Il parassita si comporta da direttore: massimo di radiazione nella direzione del parassita

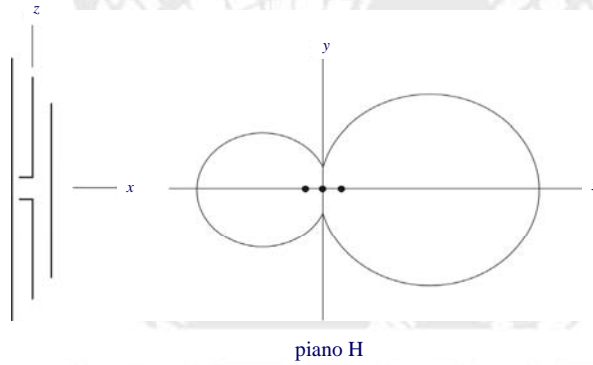
30/53





## ANTENNA YAGI-UDA

Gli effetti del direttore e del riflettore si combinano



31/53



## ANTENNA YAGI-UDA

La struttura può essere complicata introducendo dei dipoli aggiuntivi

non è vantaggioso introdurre nuovi riflettori  
perché già il primo abbassa il livello del  
campo dietro di sé



basso accoppiamento di un  
eventuale riflettore aggiuntivo

l'aggiunta di nuovi direttori aumenta la  
direttività ma oltre un certo numero questo  
effetto tende a diminuire



basso accoppiamento di un  
eventuale direttore aggiuntivo

32/53



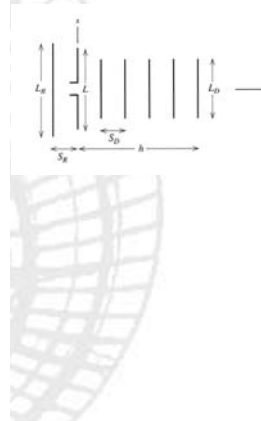


## ANTENNA YAGI-UDA

Table 5-4 Optimized Lengths of Parasitic Dipoles for Yagi-Uda Array Antennas of Six Different Boom Lengths

$d/\lambda = 0.0085$ $S_R = 0.2\lambda$	Boom length of Yagi-Uda Array, $\lambda$					
	0.4	0.8	1.20	2.2	3.2	4.2
Length of reflector, $L_R/\lambda$	0.482	0.482	0.482	0.482	0.482	0.475
$D_1$	0.442	0.428	0.428	0.432	0.428	0.424
$D_2$		0.424	0.420	0.415	0.420	0.424
$D_3$		0.428	0.420	0.407	0.407	0.420
$D_4$			0.428	0.398	0.398	0.407
$D_5$				0.390	0.394	0.403
$D_6$				0.390	0.390	0.398
$D_7$				0.390	0.386	0.394
$D_8$				0.390	0.386	0.390
$D_9$				0.398	0.386	0.390
$D_{10}$				0.407	0.386	0.390
$D_{11}$					0.386	0.390
$D_{12}$					0.386	0.390
$D_{13}$					0.386	0.390
$D_{14}$					0.386	
$D_{15}$					0.386	
Spacing between directors ( $S_D/\lambda$ )	0.20	0.20	0.25	0.20	0.20	0.308
Gain relative to half-wave dipole, dBd	7.1	9.2	10.2	12.25	13.4	14.2
Design curve (Fig. 5-37)	(A)	(C)	(C)	(B)	(C)	(D)
Front-to-back ratio, dB	8	15	19	23	22	20

Source: P. P. Vezibike, "Yagi Antenna Design," NBS Tech. Note 688, National Bureau of Standards, Washington, DC, Dec. 1968.



33/53



## ANTENNA YAGI-UDA: tipo di alimentazione

Per una comune linea bifilare utilizzata per TV l'impedenza caratteristica è  $Z_c \approx 300 \Omega$

Un cavo coassiale standard per TV ha  $Z_c \approx 50 \Omega$  oppure  $Z_c \approx 75 \Omega$

Collegamento antenna-ricevitore


Linea bifilare → non c'è bisogno di balun

Cavo coassiale → occorre un balun → l'impedenza del coassiale diventa  $Z_c \approx 288 \Omega$

Il dipolo risonante ha una resistenza d'ingresso pari a  $Z_c \approx 72 \Omega$   
e quindi se si usa una linea bifilare non si ha adattamento di impedenza tra linea e dipolo

34/53






ANTENNE I - ANTENNE PER SISTEMI DI TELECOMUNICAZIONI  
Prof. G. Pelosi - Laboratorio di Elettromagnetismo Numerico  
Dipartimento di Elettronica e Telecomunicazioni - Università di Firenze

Lezione 10 – Antenne filari

- Antenna a dipolo
- Antenna Yagi-Uda
- Antenna a dipolo ripiegato
- Dipolo a V
- Antenna log-periodica ad array di dipoli
- Antenna a telaio

35/53



ANTENNE I - ANTENNE PER SISTEMI DI TELECOMUNICAZIONI  
Prof. G. Pelosi - Laboratorio di Elettromagnetismo Numerico  
Dipartimento di Elettronica e Telecomunicazioni - Università di Firenze

Lezione 10 – Antenne filari

**DIPOLO RIPIEGATO**

Il dipolo attivo è tipicamente un dipolo ripiegato

⇓

Impedenza d'ingresso pari a circa  $300\ \Omega$

⇓

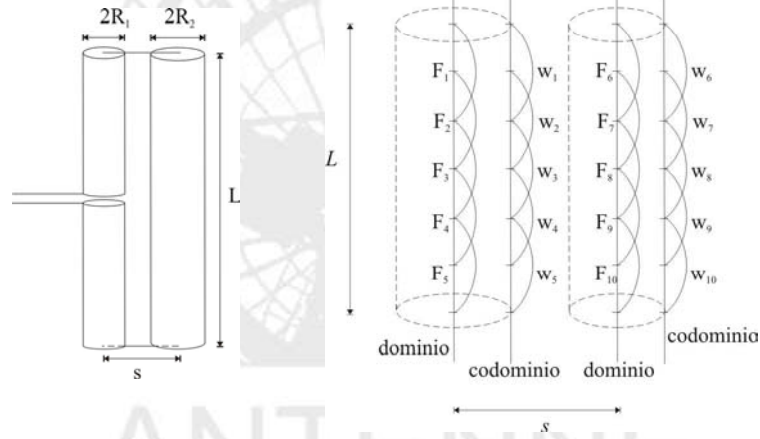
Buon adattamento di impedenza se si usa un linea bifilare

36/53



## DIPOLO RPIEGATO

funzioni di base e di peso sulla struttura



Tipicamente  $s \ll \lambda$  ( $s < 0.05 \lambda$ )

37/53



## DIPOLO RPIEGATO

Un esempio di applicazione del MoM per  
un dipolo ripiegato

```
THIS PROGRAM DOES A MOMENT METHOD SOLUTION FOR A
FOLDED DIPOLE ANTENNA.

WHAT IS THE FREQUENCY(MHz)? 300
WHAT IS THE DIPOLE LENGTH(meters)? .5
WHAT ARE THE TWO CONDUCTOR RADII(meters)? .0005,.0005
WHAT IS THE CONDUCTOR SEPARATION(meters)? .00613
HOW MANY PWS EXPANSION MODES(ODD) ON DIPOLE? 3

EQUIVALENT RADIUS=0.001751 meters
1 1 13.42881 -382.4493
1 2 12.66675 272.0548
1 3 10.44662 37.29157
MODE # CURRENT(RE,IM)
1 0.0072 -0.0046
2 0.0097 -0.0048
3 0.0072 -0.0046

ISOLATED DIPOLE IMPEDANCE= 82.64 40.70 ohms
T-LINE CHARACTERISTIC IMPEDANCE= 300.0 ohms
TRANSFORMATION RATIO= 4.000
FOLDED DIPOLE INPUT IMPEDANCE= 330.5 162.8 ohms

CONTINUE(Y,N)? N
```

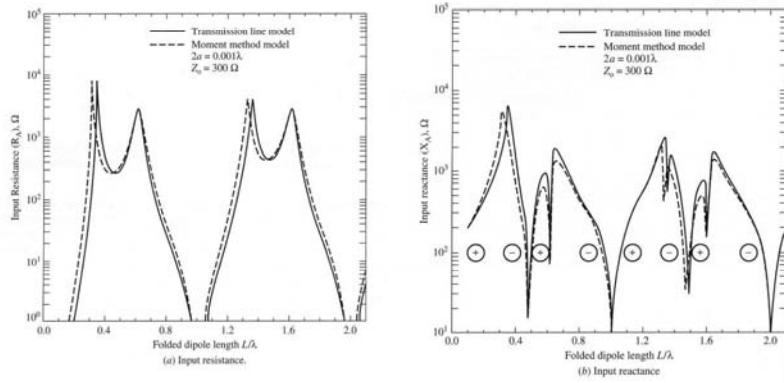
38/53





## DIPOLO RPIEGATO

Impedenza d'ingresso al variare del parametro  $L/\lambda$



39/53



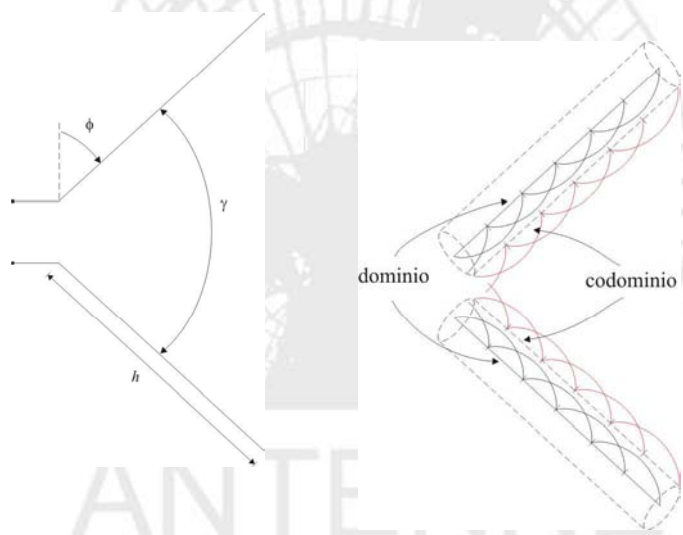
- Antenna a dipolo
- Antenna Yagi-Uda
- Antenna a dipolo ripiegato
- Dipolo a V
- Antenna log-periodica ad array di dipoli
- Antenna a telaio

40/53



## DIPOLO A V

funzioni di base e di peso sulla struttura



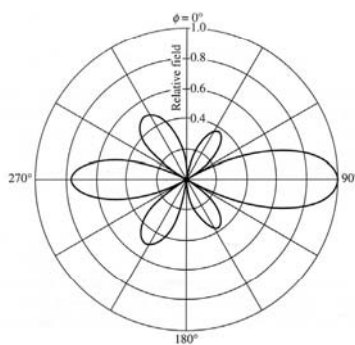
41/53



## DIPOLO A V

$$h = 0.75 \lambda$$
$$\gamma = 118.5^\circ$$
$$a = 0.0005 \lambda$$

diagramma di radiazione di un'antenna a V




$$D = 5.26 \text{ dB}$$
$$Z_{in} = 106 + j 17 \Omega$$

il dipolo a V è più direttivo di un dipolo standard della medesima lunghezza  
(la direttività di un dipolo di lunghezza  $L = 1.5 \lambda$  è  $D = 3.4 \text{ dB}$ )

42/53






**ANTENNE I - ANTENNE PER SISTEMI DI TELECOMUNICAZIONI**  
 Prof. G. Pelosi - Laboratorio di Elettromagnetismo Numerico  
 Dipartimento di Elettronica e Telecomunicazioni - Università di Firenze

**Lezione 10 – Antenne filari**

---

- Antenna a dipolo
- Antenna Yagi-Uda
- Antenna a dipolo ripiegato
- Dipolo a V
- Antenna log-periodica ad array di dipoli
- Antenna a telaio

43/53



**ANTENNE I - ANTENNE PER SISTEMI DI TELECOMUNICAZIONI**  
 Prof. G. Pelosi - Laboratorio di Elettromagnetismo Numerico  
 Dipartimento di Elettronica e Telecomunicazioni - Università di Firenze

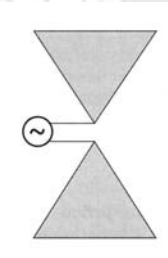
**Lezione 10 – Antenne filari**

---

**ANTENNA LOGARITMO-PERIODICA AD ARRAY DI DIPOLI  
(LPDA, Log-Periodic Dipole Array)**

---

Antenna a farfalla



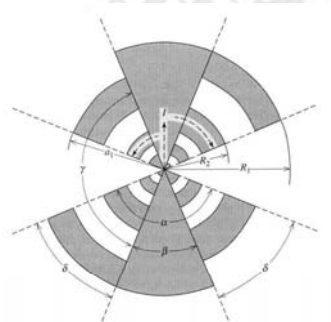
- banda limitata a causa del brusco troncamento della struttura
- polarizzazione lineare
- pattern bi-direzionale con lobi principali normali rispetto al piano dell'antenna

44/53



### ANTENNA LOGARITMO-PERIODICA AD ARRAY DI DIPOLI (LPDA, Log-Periodic Dipole Array)

antenna log-periodica a  
farfalla dentata



fattore di scala (periodo della struttura)  $\tau = \frac{R_{n+1}}{R_n}$

larghezza delle slot  $\sigma = \frac{a_n}{R_n} < 1$

$$\tau = \frac{f_n}{f_{n+1}} \quad f_n < f_{n+1}$$

$$\log f_{n+1} = \log f_n + \log \frac{1}{\tau}$$

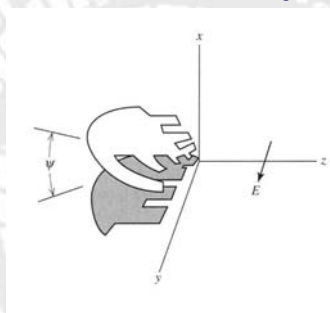
- la corrente trasversa (sui denti) è predominante
- regione attiva: dente lungo  $\lambda/4$
- polarizzazione lineare parallela ai denti
- pattern bi-direzionale con lobi principali normali rispetto al piano dell'antenna

45/53



### ANTENNA LOGARITMO-PERIODICA AD ARRAY DI DIPOLI (LPDA, Log-Periodic Dipole Array)

antenna log-periodica a farfalla  
dentata nella versione a wedge



- il lobo in direzione  $-z$  viene attenuato
- il lobo in direzione  $+z$  viene enfatizzato

46/53





**ANTENNE I - ANTENNE PER SISTEMI DI TELECOMUNICAZIONI**  
 Prof. G. Pelosi - Laboratorio di Elettromagnetismo Numerico  
 Dipartimento di Elettronica e Telecomunicazioni - Università di Firenze

Lezione 10 – Antenne filari


**ANTENNA LOGARITMO-PERIODICA AD ARRAY DI DIPOLI  
(LPDA, Log-Periodic Dipole Array)**

antenna log-periodica  
trapezoidale dentata



- semplificazione della geometria
- performance simili alla versione con denti curvi
- si può realizzare nella versione a wedge per aumentare la direttività

47/53

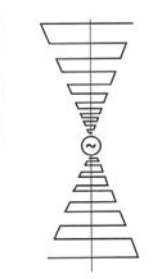


**ANTENNE I - ANTENNE PER SISTEMI DI TELECOMUNICAZIONI**  
 Prof. G. Pelosi - Laboratorio di Elettromagnetismo Numerico  
 Dipartimento di Elettronica e Telecomunicazioni - Università di Firenze

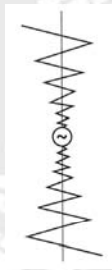
Lezione 10 – Antenne filari

**ANTENNA LOGARITMO-PERIODICA AD ARRAY DI DIPOLI  
(LPDA, Log-Periodic Dipole Array)**

antenna log-periodica  
trapezoidale dentata in  
versione filare



antenna log-periodica  
filare a zig-zag



- strutture filari più leggere
- performance simili alla versione trapezoidale piena
- si possono realizzare nella versione a wedge per aumentare la direttività

48/53



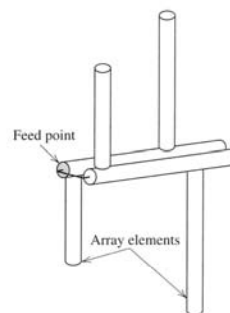
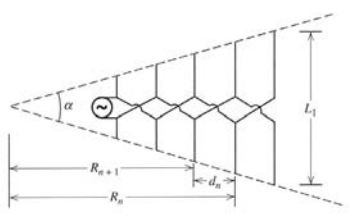


Lezione 10 – Antenne filari

**ANTENNA LOGARITMO-PERIODICA AD ARRAY DI DIPOLI  
(LPDA, Log-Periodic Dipole Array)**

antenna log-periodica ad  
array di dipoli

$$\tau = \frac{R_{n+1}}{R_n} = \frac{L_{n+1}}{L_n} < 1$$



- regione attiva: dipolo lungo  $\lambda/2$
- polarizzazione lineare parallela ai dipoli
- pattern direttivo con lobo principale nella direzione del vertice

LPDA: dettaglio  
dell'alimentazione

49/53



Lezione 10 – Antenne filari

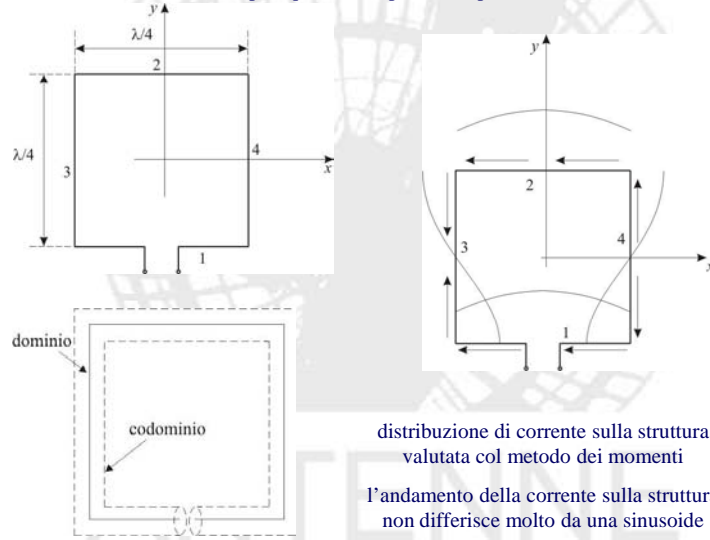
- Antenna Yagi-Uda
- Antenna a dipolo ripiegato
- Dipolo a V
- Antenna log-periodica ad array di dipoli
- Antenna a telaio

50/53



## ANTENNA A TELAIO

Spira quadrata di perimetro  $p=\lambda$



distribuzione di corrente sulla struttura  
valutata col metodo dei momenti

l'andamento della corrente sulla struttura  
non differisce molto da una sinusoide

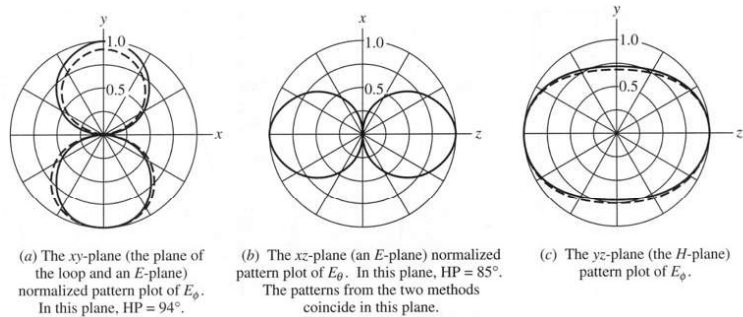
51/53



## ANTENNA A TELAIO

Diagrammi di radiazione

la linea continua si riferisce all'ipotesi che la distribuzione di corrente sulla struttura sia sinusoidale; le curve a tratteggio sono calcolate col metodo dei momenti

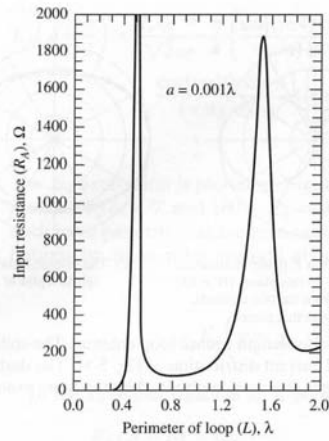


52/53

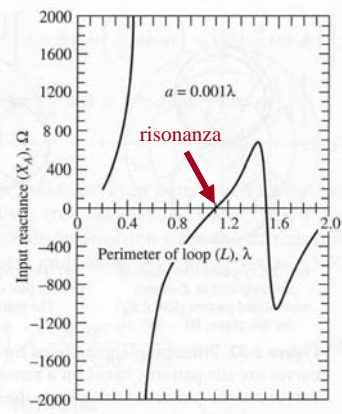


## ANTENNA A TELAIO

Impedenza di ingresso (metodo dei momenti)



resistenza d'ingresso



reattanza d'ingresso